

МИНИСТЕРСТВО НАУКИ И ВЫСШЕГО ОБРАЗОВАНИЯ РОССИЙСКОЙ ФЕДЕРАЦИИ
ФЕДЕРАЛЬНОЕ ГОСУДАРСТВЕННОЕ АВТОНОМНОЕ ОБРАЗОВАТЕЛЬНОЕ УЧРЕЖДЕНИЕ
ВЫСШЕГО ОБРАЗОВАНИЯ
«НАЦИОНАЛЬНЫЙ ИССЛЕДОВАТЕЛЬСКИЙ ЯДЕРНЫЙ УНИВЕРСИТЕТ «МИФИ»
(НИЯУ МИФИ)

ИНСТИТУТ ЯДЕРНОЙ ФИЗИКИ И ТЕХНОЛОГИЙ
КАФЕДРА №40 «ФИЗИКА ЭЛЕМЕНТАРНЫХ ЧАСТИЦ»

ОТЧЕТ
О НАУЧНО-ИССЛЕДОВАТЕЛЬСКОЙ РАБОТЕ
**ПРОГРАММНАЯ ПЛАТФОРМА ДЛЯ
МНОГОЭТАПНОЙ ОБРАБОТКИ ДАННЫХ
ФИЗИЧЕСКОГО ЭКСПЕРИМЕНТА НА ОСНОВЕ
ФРЕЙМВОРКА GAUDI**

Научный руководитель
доц. к.ф-м.н.

_____ Е. Ю. Солдатов

Научный консультант
к.ф-м.н.

_____ А. С. Жемчугов

Студент

_____ Л. Л. Симбирягин

Москва 2024

Содержание

Введение	3
1 Эксперимент SPD	4
1.1 Основная цель эксперимента	4
1.2 Детектор	5
2 Offline программное обеспечение эксперимента SPD	6
2.1 Генерация и моделирование	6
2.2 Описание детектора	6
3 Фреймворк Gaudi	7
3.1 Архитектура Gaudi	7
3.2 Алгоритмы	8
3.3 Сервисы	9
3.4 Конфигурирование приложения. Job options	9
3.5 Работа Gaudi-приложения	10
4 Gaudi в SPD	11
4.1 Интеграция Pythia8	11
4.2 HepMC3	11
4.3 Интеграция GeoModel	12
4.4 Интеграция Geant4	12
5 Заключение и дальнейшие планы	13
Список использованных источников	14

1 Введение

2 Ускорительный комплекс NICA (Nuclotron based Ion Collider fAcility) является
3 проектом масштаба мегасайенс, реализуемым на базе ОИЯИ (Дубна, Россия). На кол-
4 лайдере предусмотрены две точки пересечения пучков заряженных частиц, в одной из
5 которых предполагается установить детектор SPD (Spin Physics Detector) с целью изу-
6 чения спиновой структуры протона и дейтрона. Коллайдер предоставляет уникальную
7 возможность для изучения поляризованных pp и dd столкновений с $\sqrt{s} = 27$ ГэВ и
8 светимостью порядка 10^{32} см $^{-2}$ с $^{-1}$.

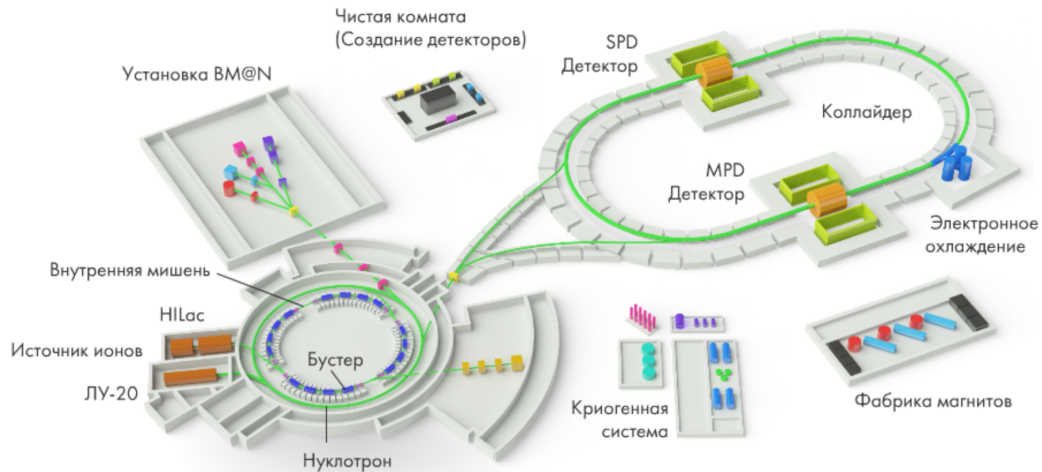


Рисунок 1 — Ускорительный комплекс NICA

9 Как и любой крупный эксперимент, SPD предполагает разработку своего физи-
10 ческого ПО. Такое ПО, главным образом, предназначено для реконструкции событий,
11 генерации Монте-Карло наборов, а также для автономной обработки данных. Для каж-
12 дой из перечисленных задач существуют специализированные библиотеки. Интеграция
13 этих библиотек в общий фреймворк является важной задачей.

14 Текущим вариантом физического ПО эксперимента SPD является пакет SpdRoot,
15 написанный на основе фреймворка FairRoot [1]. С его помощью рассчитывают физи-
16 ческие показатели детектора, производят возможные оптимизации и прочие подготови-
17 тельные мероприятия. Однако, являясь непосредственным наследником пакета Root,
18 SpdRoot наследует, в том числе, и все его недостатки. Также в SpdRoot не поддержи-
19 ваются методы многопоточного программирования.

20 По этим причинам к началу набора данных необходимо разработать фреймворк
21 для физического ПО эксперимента SPD на базе Gaudi [2]. В рамках прошедшего се-
22 местра были выполнены следующие задачи:

- 23 • интеграция библиотеки Pythia8 (генерация первичных вершин);
- 24 • интеграция библиотеки GeoModel (описание геометрии детектора);
- 25 • начало интеграции пакета Geant4;

26 1 Эксперимент SPD

27 Несмотря на важность поиска проявлений частиц, выходящих за рамки Стан-
 28 дартной модели, в рамках барионной материи по-прежнему остается множество откры-
 29 тых вопросов. Даже протон не может считаться в полной мере изученной частицей. В
 30 наивной кварковой модели протон представляет собой комбинацию двух u и одного d
 31 кварка. Эта простейшая кварковая модель позволяет предсказать такие свойства как
 32 электрический заряд, изоспин, четность, магнитный момент. Этот результат является
 33 действительно удивительным, ведь такая модель не учитывает угловые моменты квар-
 34 ков, морские кварки, а также глюоны. КХД является современным инструментом опи-
 35 сания сильного взаимодействия, она с успехом применяется для описания множества
 36 процессов. Основным нюансом КХД является ее непертурбативность на низких энер-
 37 гиях, в частности, одной из нерешенных проблем остается описание свойств адронов (в
 38 том числе и протона) напрямую из динамики составляющих их кварков и глюонов.

39 Детектор SPD (Spin Physics Detecror) будет размещен в одной из двух точек
 40 столкновения пучков коллайдера NICA (Дубна, Россия). Целью построения SPD явля-
 41 ется изучение спиновой структуры нуклонов в поляризованных pp ($\sqrt{s} < 27$ ГэВ) и dd
 42 ($\sqrt{s} < 13.5$ ГэВ) столкновениях.

43 1.1 Основная цель эксперимента

44 Одним из способов описания внутренней партонной структуры нуклона является
 45 использование функций партонных распределений PDF (Parton Distribution Function).
 46 В неполяризованном простейшем случае эта функция описывает вероятность найти
 47 внутри нуклона партон, несущий определенную долю общего импульса. В общем же
 48 случае необходимо также учитывать не только продольную компоненту, но и попереч-
 49 ную (например, эффект Сиверса [3]), а также поляризацию как самого нуклона, так и
 50 партонов внутри него.

51 В то время как вклад кварков в общий спин нуклона был довольно точно измерен
 52 коллаборациями EMC, HERMES и COMPASS, измерения по глюонной компоненте либо
 53 являются менее точными, либо отсутствуют вовсе.

54 Основная цель эксперимента SPD - извлечь информацию о глюонных функци-
 55 ях распределения, зависящих от поперечного импульса (TMD PDFs), для протона и
 56 дейтрона, через измерение одинарных и двойных спиновых асимметрий в процессах
 57 рождения чармониев, очарованных частиц, а также прямых фотонов [4].

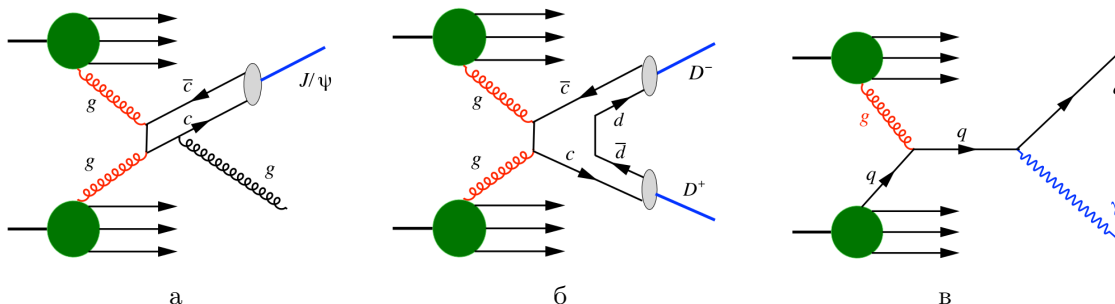


Рисунок 2 — Фейнмановские диаграммы процессов-пробников: рождение (а) чармониев, (б) очарованных частиц, (в) прямых фотонов

58 1.2 Детектор

59 Основной целью эксперимента является извлечение TMD PDF для глюонов че-
60 рез измерение спиновых асимметрий в процессах рождения чармониев, очарованных
61 частиц, а также прямых фотонов. Поставленная цель, а также обозначенные процессы-
62 пробники определяют вид и необходимые характеристики детектора SPD.

63 SPD представляет собой универсальный 4π детектор с характерной для коллай-
64 дерных экспериментов цилиндрической формой. Его компонентами являются:

- 65 • кремниевый вершинный детектор (VD) с разрешением выше 100 мкм для рекон-
66 струкции вторичных вершин распадов D мезонов;
- 67 • трековая система (TS) $\sigma_{p_T}/p_T \approx 2\%$;
- 68 • время-пролетная система (TOF) с разрешением порядка 60 пс для разделения
69 π/K и K/p ;
- 70 • детектор FАRICH для улучшения разделения π/K и K/p ;
- 71 • электромагнитный калориметр (ECal) с энергетическим разрешением $\sim 5\%/\sqrt{E}$
72 для регистрации фотонов;
- 73 • мюонная система (RS);
- 74 • пара счетчиков столкновений (BBC) и калориметров нулевых углов (ZDC) для
75 контроля поляризации и светимости;

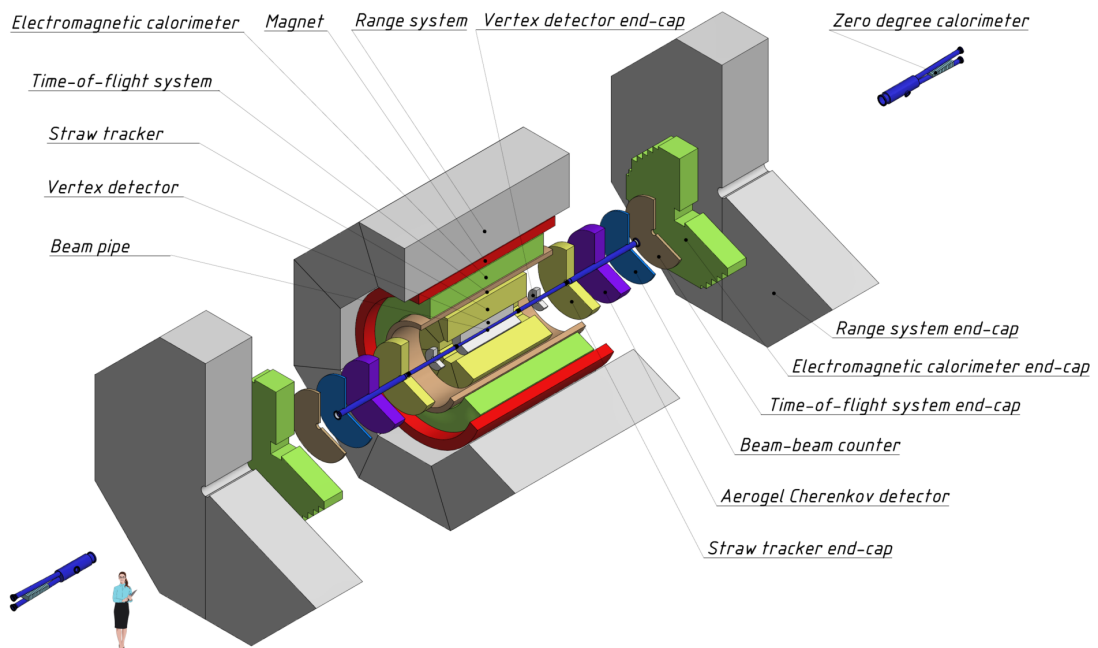


Рисунок 3 — Макет детектора SPD в полной сборке

76 В силу трудностей, возникающих при построении аппаратного триггера, для SPD
77 предполагается безтриггерная система сбора данных. В совокупности с высокой частотой
78 столкновений (до 12 МГц) и сотнями тысяч каналов детектора это представляет
79 собой сложную задачу по разработке эффективной системы сбора и обработки данных.

80 2 Offline программное обеспечение эксперимента SPD

81 Offline программное обеспечение предназначено для решения таких задач, как
82 реконструкция событий, их моделирование, а также проведение физического анали-
83 за полученных в результате эксперимента данных. Схематично эти этапы жизненного
84 цикла данных представлены на рисунке 4. Все эти этапы в рамках фреймворка должны
85 быть объединены в единую инфраструктуру.

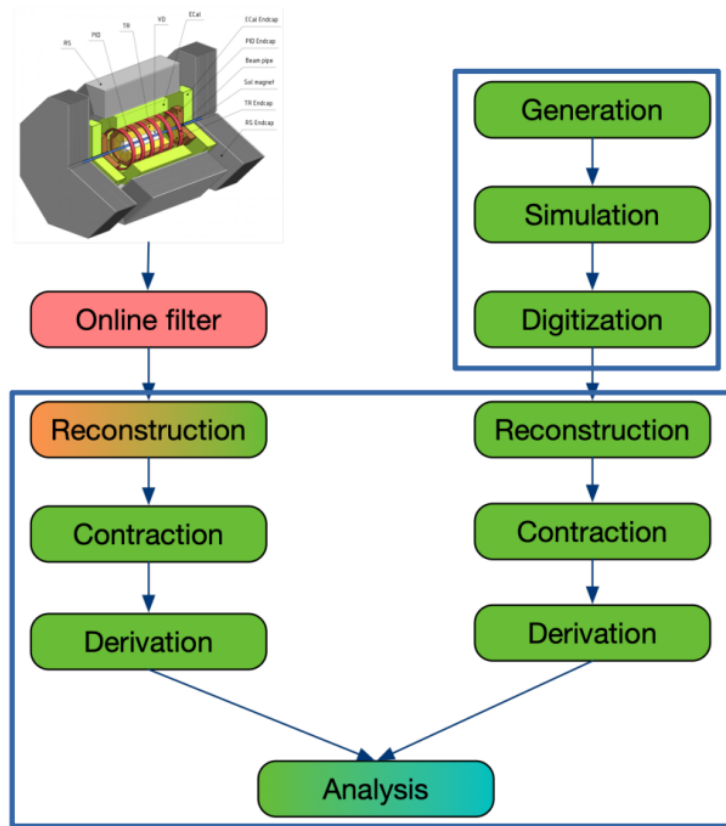


Рисунок 4 — Этапы обработки данных. За выделенные этапы отвечает offline ПО

86 2.1 Генерация и моделирование

87 Для моделирования протон-протонных столкновений используется генератор Pythia8
88 [5], дейтрон-дейтронные столкновения моделируются с помощью модели FRITIOF [6],
89 а для моделирования ядро-ядерных столкновений используется генератор UrQMD [7].
90 Для моделирования распространения частиц в детекторе, а также формирования от-
91 кликов в чувствительных элементах установки используется пакет Geant4 [8].

92 2.2 Описание детектора

93 Для описания геометрии детектора используется библиотека GeoModel [9]. Она
94 позволяет хранить геометрию детектора как отдельный независимый компонент, в том
95 числе записывать ее в базу данных SQLite. Выделение геометрии детектора в отдель-
96 ный компонент обусловлено тем, что многие алгоритмы реконструкции должны взаи-
97 модействовать с ней. Геометрия внутри Geant4 будет создаваться путем конвертации
98 геометрии из GeoModel.

99 3 Фреймворк Gaudi

100 Gaudi [2] представляет собой программный пакет, содержащий все необходимые
101 интерфейсы и компоненты для написания на его основе фреймворков для эксперимен-
102 тов в области физики высоких энергий. Изначально Gaudi разрабатывался по внут-
103 ренним нуждам коллаборации LHCb, однако вскоре после подключения к разработке
104 коллаборации ATLAS стало ясно, что пакет может быть легко трансформирован и под
105 любой другой эксперимент. Надежность пакета подтверждается его использованием в
106 многочисленных коллаборациях по всему миру.

107 3.1 Архитектура Gaudi

108 Одним из принципиальных решений при создании Gaudi стала изоляция поль-
109 зователя от деталей внутреннего устройства фреймворка. Достигается такая изоляция
110 за счет построения архитектуры, представляющей собой набор компонентов и правил
111 их взаимодействия. У каждого компонента есть свой интерфейс и функционал. Задача
112 же пользователя сводится к доопределению функционала конкретного компонента с
113 сохранением его интерфейса. Программно это осуществляется путем наследования от
114 одного из базовых классов.

115 Другим принципиальным решением стало явное разделение между данными и
116 алгоритмами, оперирующими этими данными. Такое разделение обусловлено естествен-
117 ным подходом: данные - это набор чисел, который не стоит перегружать каким-либо
118 дополнительным функционалом, а алгоритмы - это математические процедуры, прово-
119 димые с этими числами. Также для хранения данных на диске необходимо предоста-
120 вить соответствующие конвертеры. Таким образом, в Gaudi представлены следующие
121 базовые классы, предназначенные для пользователя:

- 122 • DataObject
- 123 • Algorithm
- 124 • Converter

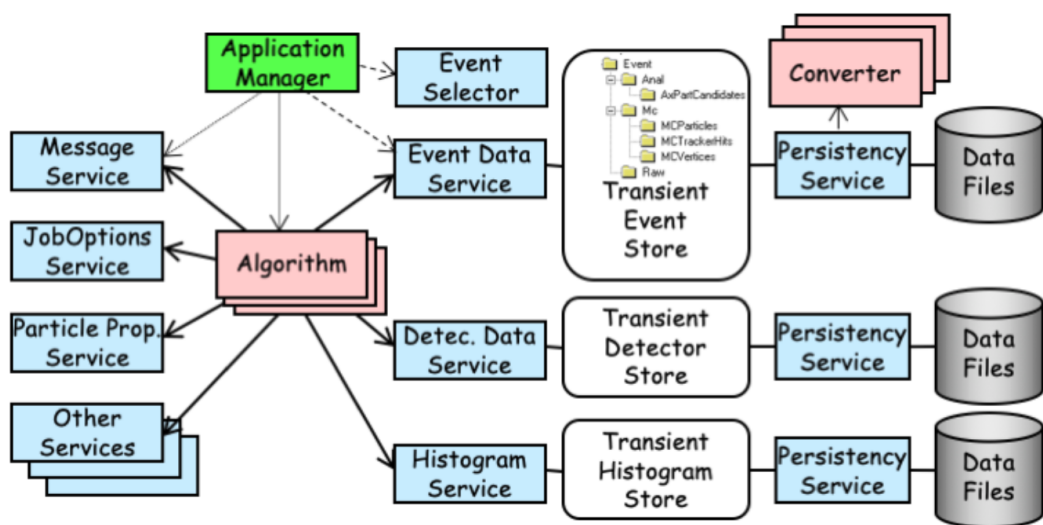


Рисунок 5 — Основные компоненты архитектуры Gaudi

125 3.2 Алгоритмы

126 Алгоритмы главным образом производят определенные действия с данными (ге-
127 нерация, реконструкция и т. п.), основная часть модификации фреймворка под нужды
128 конкретного эксперимента заключается в написании алгоритмов.

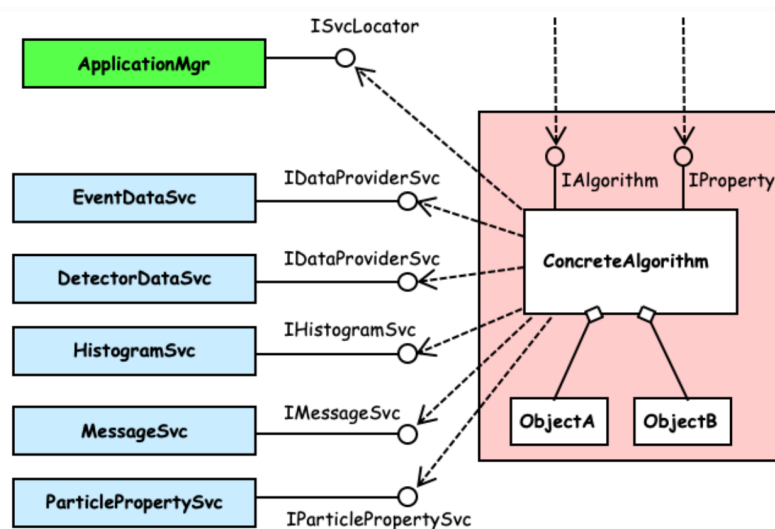


Рисунок 6 — Взаимодействие алгоритма с фреймворком в процессе работы

129 Алгоритм взаимодействует с элементами фреймворка посредством их интерфей-
130 сов. Например, доступ к данным и их запись во временное хранилище осуществляется
131 посредством интерфейса `IDataProviderSvc`, а в случае необходимости вывода алгорит-
132 мом какой-либо информации можно воспользоваться `MessageSvc`, обращение к которо-
133 му реализуется через интерфейс `IMessageSvc`.

134 Алгоритм является конфигурируемым. Так, перед запуском можно установить
135 значения для внутренних переменных (например, пороговые значения для отборов со-
136 бытий). Это возможно благодаря тому, что базовый класс `Algorithm` реализует сразу
137 два интерфейса, в том числе `IProperty`, что дает возможность сервису `JobOptionSvc` в
138 момент конфигурирования обращаться к полям алгоритма и задавать их значения. Вто-
139 рым интерфейсом, который реализуется базовым классом `Algorithm`, является `IAlgorithm`.
140 `IAlgorithm` используется для управления алгоритмом в процессе работы фреймворка.
141 Также этот интерфейс содержит три чисто виртуальных метода, реализация которых
142 целиком ложится на конечного пользователя:

- 143 • **Initialize**, который может быть использован для создания выходных гистограмм,
144 конфигурирования побочных алгоритмов и т.п.
- 145 • **Execute**, который вызывается единожды на событие и совершает соответствующе-
146 е какой-либо физической задаче преобразования над данными, относящимися к
147 этому событию. Для побочных алгоритмов `execute` можно вызывать более одного
148 раза.
- 149 • **Finalize**, который вызывается в конце работы программы и может быть исполь-
150 зован для подведения итоговой статистики, фитирования итоговых гистограмм и
151 т.п.

152 3.3 Сервисы

153 Сервисы предназначены для решения общих задач, возникающих в ходе рабо-
154 ты приложения. К таковым можно отнести чтение и запись данных в Transient Data
155 Store, вывод сообщений, генерацию случайных чисел, получение свойств частиц и т. д.
156 Сервисы не относятся к какому-то конкретному алгоритму, они наравне с алгоритмами
157 являются самостоятельными компонентами фреймворка. Так, например, за создание
158 конкретного набора алгоритмов на основе конфигурационного файла отвечает сервис
159 JobOptionSvc.

160 Сервисы создаются единожды в начале работы приложения и затем вызываются
161 другими компонентами фреймворка. При этом при создании используется ленивая
162 инициализация. По умолчанию Application Manager создает только JobOptionsSvc и
163 MessageSvc.

164 Обращение к сервису должно осуществляться через его интерфейс. Для того
165 чтобы какой-либо компонент имел доступ к определенному сервису, компонент нуж-
166 но снабдить ссылкой или указателем на этот сервис. Для этого внутри фреймворка
167 существует функция serviceLocator.

168 Помимо создания алгоритмов, Gaudi также позволяет пользователю создавать
169 собственные сервисы. Для этого необходимо предоставить интерфейс нового сервиса,
170 также новый сервис должен быть наследником базового класса Service.

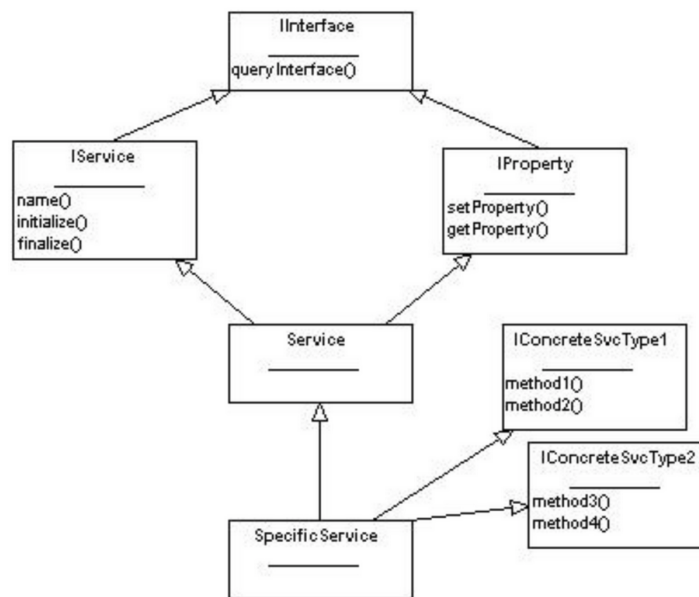


Рисунок 7 — Схема создания пользовательского сервиса.

171 3.4 Конфигурирование приложения. Job options

172 Под понятием *Job* имеется в виду запуск программы в определенной configura-
173 ции на определенных входных данных. Для того чтобы сконфигурировать *Job*, в Gaudi
174 предусмотрен механизм *JobOptions* файлов, представляющих собой набор команд, ин-
175 терпретируемых Gaudi. На языке этих команд описывается последовательность алго-
176 ритмов, их параметры, используемые сервисы, входные данные и многое другое.

177 Однако большинство современных экспериментов использует другой подход. Он
178 подразумевает конфигурирование задач с помощью скриптов на языке *Python*.

179 3.5 Работа Gaudi-приложения

180 Общая схема работы приложения, написанного на базе Gaudi, представлена на
 181 рисунке 8:

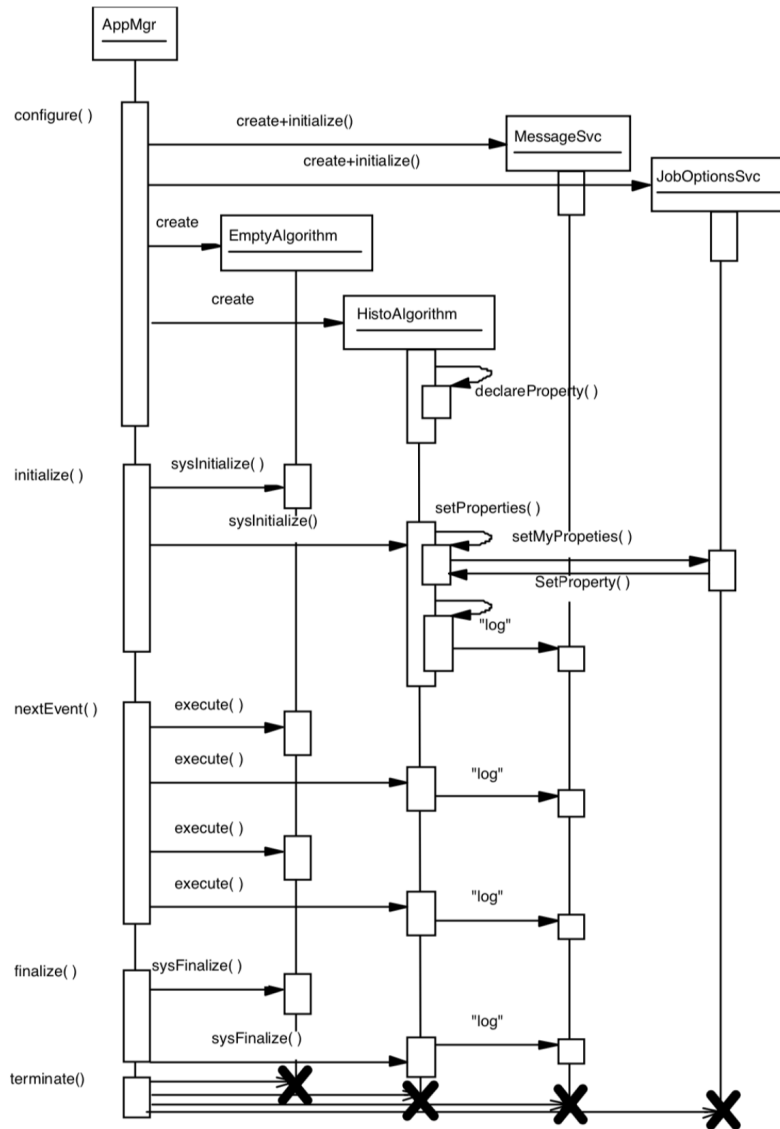


Рисунок 8 — Общая схема работы Gaudi-приложения

182 Порядок работы следующий:

- 183 • Application manager создает и инициализирует необходимые сервисы;
- 184 • создаются алгоритмы, указанные в JobOptions;
- 185 • устанавливаются свойства алгоритмов;
- 186 • Application manager начинает цикл обработки событий. Для каждого события вы-
 187 зываются алгоритмы в установленном порядке;
- 188 • по завершении цикла обработки событий алгоритмы завершаются;
- 189 • сервисы завершаются;
- 190 • освобождаются все ресурсы, программа завершается;

191 4 Gaudi в SPD

192 В рамках разработки фреймворка на основе Gaudi было принято решение идти
193 в соответствии с циклом жизни данных, то есть в порядке генерация-моделирование-
194 реконструкция.

195 4.1 Интеграция Pythia8

196 Pythia8 [5] является универсальным Монте-Карло генератором событий для фи-
197 зики высоких энергий. Задачей генератора является создание коллекции выходных ча-
198 стиц, формирующих событие, в соответствии с некоторой физической моделью, началь-
199 ными частицами и их характеристиками.

200 Задать начальные параметры Pythia8 можно двумя способами: построчно вызы-
201 вать `pythia.readString(...)` или же один раз считать конфигурационный файл с помощью
202 `pythia.readFile(...)`. Второй способ выбирается в качестве основного, так как не требует
203 перекомпиляции проекта, а также позволяет сохранить настройки генератора, кото-
204 рые в дальнейшем могут понадобиться.

205 Сгенерированные события необходимо хранить на диске. В некоторых случаях
206 можно формировать комплексные задачи и одновременно с записью сразу же пере-
207 давать сформированные события следующему в цепочке алгоритму моделирования. В
208 любом случае необходимо учесть, что сгенерированные события должны быть пред-
209 ставлены в некотором универсальном виде. В качестве такого представления выби-
210 рается HepMC3. Pythia8 оснащена встроенным конвертером, переводящим внутреннее
211 представление события в HepMC3.

212 Генераторы событий, в соответствии с ходом их работы, в контексте Gaudi ло-
213 гично представить в виде алгоритма. В ходе проделанной работы был разработан класс
214 `Pythia8_i`. Основными его методами являются:

- 215 • **initialize**. Задаёт начальные параметры Pythia8, используемый генератор случай-
216 ных чисел, открывает файлы для записи сгенерированных событий;
- 217 • **execute**. Однократно вызывает генератор, проверяет корректность сгенерирован-
218 ного события, конвертирует событие в HepMC3, записывает событие в файл и
219 возможно передает его следующему алгоритму;
- 220 • **finalize**. Собирает статистику проведенной генерации, закрывает файлы;

221 4.2 HepMC3

222 Библиотека HepMC3 [10] предназначена для хранения событий, создаваемых ге-
223 нераторами. Запись HepMC3 состоит из двух частей. Первая хранит информацию о
224 параметрах генератора, вторая содержит вершины и ассоциированные с ними части-
225 цы. Частицы без конечной вершины считаются финальными.

226 Записи представлены объектами класса `GenEvent`. `GenEvent` может быть сери-
227 ализован в простую структуру `GenEventData`, которую легко записать на диск. Для
228 записи и чтения используются наследники классов `HepMC3::Reader` и `HepMC3::Writer`.
229 Библиотека поддерживает несколько форматов записи. Наиболее производительным и
230 экономным с точки зрения используемой памяти является формат `ROOTTree` - бинар-
231 ный формат, основанный на использовании `TTree` из пакета `ROOT` [11]. Поддержива-
232 ется также запись и в простые текстовые ASCII файлы.

233 4.3 Интеграция GeoModel

234 GeoModel [9]- это библиотека с минимальным числом зависимостей, предназна-
235 ченная для описания детектора и хранения этого описания в базе данных. В рамках
236 GeoModel объекты детектора хранятся в виде дерева объектов, корнем которого являет-
237 ся так называемый мировой объем. Таким образом, принцип представления геометрии
238 полностью аналогичен тому, как это реализовано в Geant4. Библиотека GeoModel снаб-
239 жена конверторами, переводящими представление геометрии в формат, используемый
240 в Geant4.

241 Так как описание геометрии может потребоваться многим компонентам фрейм-
242 ворка, то внутри Gaudi GeoModel реализуется в виде сервиса. В рамках проделанной
243 работы был разработан соответствующий сервис GeoModelSvc, основными задачами
244 которого являются:

- 245 • Обеспечение подключения к базе данных с описанием геометрии, проверка кор-
246 ректности подключения;
- 247 • Выгрузка элементов геометрии из базы данных (по первому запросу), создание
248 дерева объектов;
- 249 • Предоставление мирового объема по запросу;

250 4.4 Интеграция Geant4

251 Geant4 [8] предназначен для моделирования прохождения частиц через вещество
252 детектора. Работой Geant4-приложения управляет G4RunManager. Инициализация осу-
253 ществляется путем предоставления G4RunManager Initialization-классов, содержащих
254 информацию о геометрии детектора, учитываемых физических процессах и т.д. Так-
255 же предусмотрены механизмы вмешательства пользователя в типичный ход работы
256 приложения посредством спецификации Action-классов. Обязательным Action-классом
257 является G4VUserPrimaryGeneratorAction, определяющий создание первичных вершин.

258 В рамках интеграции Geant4 необходимо учесть следующее:

- 259 • В разрабатываемом фреймворке за геометрию детектора отвечает GeoModelSvc,
260 так что необходимо обеспечить механизмы взаимодействия этого сервиса и Geant4-
261 специфичных классов;
- 262 • Необходимо обеспечить механизм переноса сгенерированных Pythia8 первичных
263 вершин в Geant4;
- 264 • Action-классы можно оформить в виде сервисов;
- 265 • Geant4 позволяет менять логику работы G4RunManager. По умолчанию она под-
266 разумевает использование Geant4 в виде отдельного приложения, однако при ис-
267 пользовании его как части программного стека необходимо будет внести соответ-
268 ствующие изменения;

269 5 Заключение и дальнейшие планы

270 Данная работа посвящена разработке offline программного обеспечения для экс-
271 перимента SPD на базе платформы Gaudi. Были рассмотрены основные компоненты и
272 архитектура Gaudi, а также основные этапы жизненного цикла данных в физическом
273 эксперименте. Каждый из этапов требует использования специализированных библио-
274 тек, которые необходимо интегрировать в общий фреймворк.

275 Результатами проделанной работы стали:

- 276 ● интеграция генератора Pythia8 в инфраструктуру Gaudi в виде соответствующе-
277 го алгоритма. Значимость этого шага состоит в том, что получен прикладной
278 алгоритм, на примере которого можно строить другие алгоритмы. Аналогичным
279 образом можно интегрировать остальные генераторы;
- 280 ● обеспечение записи сгенерированных событий на диск в формате HepMC;
- 281 ● интеграция библиотеки GeoModel в инфраструктуру Gaudi в виде соответствую-
282 щего сервиса. Значимость этого шага состоит в том, что получен прикладной
283 сервис, на примере которого можно строить другие сервисы;
- 284 ● начат процесс интеграции библиотеки Geant4 в инфраструктуру Gaudi. Созда-
285 ние первичных вершин осуществляется переводом событий из HepMC формата во
286 внутренний формат Geant4, описание детектора создается на базе GeoModel;

287 Дальнейшие планы:

- 288 ● завершить интеграцию Geant4. Этот шаг может подразумевать пересмотр внут-
289 ренней логики работы Geant4-приложений;
- 290 ● разработать инструмент логгирования выполняемых задач;
- 291 ● приступить к разработке прикладных алгоритмов реконструкции;
- 292 ● ознакомиться со средствами распараллеливания, предоставляемыми Gaudi и при-
293 менить их к конкретным алгоритмам;

294 СПИСОК ИСПОЛЬЗОВАННЫХ ИСТОЧНИКОВ

- 295 1. The FairRoot framework / M. Al-Turany [и др.] // Journal of Physics: Conference
296 Series. — 2012. — Дек. — Т. 396, № 2. — С. 022001.
- 297 2. *Mato P.* GAUDI-Architecture design document. — 1998. — Ноябрь.
- 298 3. *Sivers D. W.* Single Spin Production Asymmetries from the Hard Scattering of Point-
299 Like Constituents // Phys. Rev. D. — 1990. — Т. 41. — С. 83.
- 300 4. On the physics potential to study the gluon content of proton and deuteron at NICA
301 SPD / A. Arbuзов [и др.] // Prog. Part. Nucl. Phys. — 2021. — Т. 119. — С. 103858. —
302 arXiv: 2011.15005 [hep-ex].
- 303 5. An introduction to PYTHIA 8.2 / T. Sjöstrand [и др.] // Comput. Phys. Commun. —
304 2015. — Т. 191. — С. 159–177. — arXiv: 1410.3012 [hep-ph].
- 305 6. *Andersson B., Gustafson G., Nilsson-Almqvist B.* A model for low-pT hadronic reactions
306 with generalizations to hadron-nucleus and nucleus-nucleus collisions // Nuclear Physics
307 B. — 1987. — Т. 281, № 1. — С. 289–309. — ISSN 0550-3213.
- 308 7. Microscopic models for ultrarelativistic heavy ion collisions / S. A. Bass [и др.] // Prog.
309 Part. Nucl. Phys. — 1998. — Т. 41. — С. 255–369. — arXiv: nucl-th/9803035.
- 310 8. GEANT4—a simulation toolkit / S. Agostinelli [и др.] // Nucl. Instrum. Meth. A. —
311 2003. — Т. 506. — С. 250–303.
- 312 9. Going standalone and platform-independent, an example from recent work on the
313 ATLAS Detector Description and interactive data visualization / S. A. Merkt [и др.] //
314 European Physical Journal Web of Conferences. Т. 214. — 07.2019. — С. 02035. —
315 (European Physical Journal Web of Conferences).
- 316 10. The HepMC3 event record library for Monte Carlo event generators / A. Buckley [и
317 др.] // Comput. Phys. Commun. — 2021. — Т. 260. — С. 107310. — arXiv: 1912.08005
318 [hep-ph].
- 319 11. ROOT: A C++ framework for petabyte data storage, statistical analysis and visualization /
320 I. Antcheva [и др.] // Comput. Phys. Commun. — 2009. — Т. 180. — С. 2499–2512. —
321 arXiv: 1508.07749 [physics.data-an].